

FISICA NUCLEARE (4)

Struttura dei nuclei e modelli nucleari

- Modello a shell
 - Ipernuclei
 - Potenziale del modello a shell
 - Nucleoni di valenza

Proprietà dei Nuclei

- Spin dei nuclei
- Parità e nuclei

Modello a shell

- **Nell'Atomo**: nucleo, con suo pot. coulombiano, **è sorgente esterna** \Rightarrow orbitali atomici
- **Nel Nucleo**: **no sorgente esterna** \Rightarrow nucleoni nel loro stesso potenziale (shell)
 - Pensarli densamente impacchettati e nel contempo mobili **su shell**, non plausibile classicamente!
 - **Modelli nucleari a gas densi, molte collisioni interne, non riproducono dati**
- **Principio d'esclusione** \Rightarrow se non ci sono stati quantici vicini e vuoti raggiungibili con l'energia di un'interazione, allora quell'interazione **non avverrà**, e **non esiste analogo classico**

Come evidenziare struttura a shell nucleare ? Ci vuole sonda libera di muoversi !

Ipernuclei

Nucleo ~ gas di Fermi \rightarrow occupati tutti livelli a minor energia, interazioni fra nucleoni danno solo scambi fra due di essi senza che cambi energia \Rightarrow **non osservabile sperimentalmente**

Per studiare spettro \Rightarrow **etichettare singoli nucleoni**. Si introduce nel nucleo sonda opportuna, **iperone Λ^0** , ottenendo un **ipernucleo**

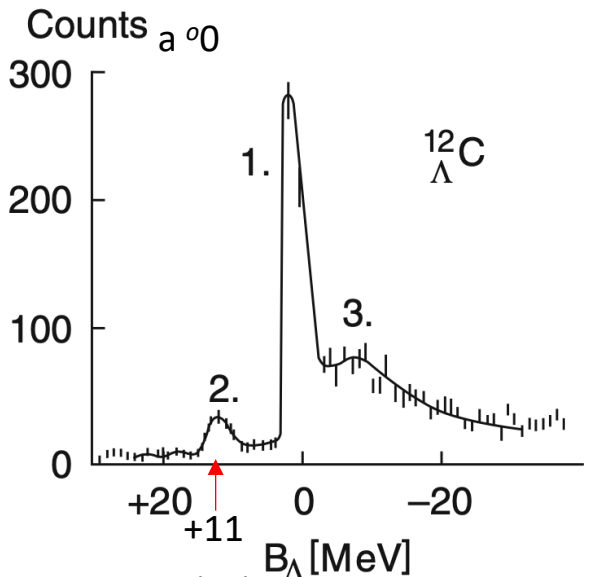
- Λ^0 (u,d,s), $M_{\Lambda^0} = 1.115 \text{ GeV}/c^2$, $\tau_{\Lambda^0} = 2.631 \times 10^{-10} \text{ s}$; $\sim n$ pesante [$p \equiv (u,u,d)$, $n \equiv (u,d,d)$]
- **Int. forte conserva stranezza** $\Rightarrow \tau_{\Lambda^0}$ uguale nel nucleo e fuori, sufficiente per analisi spettroscopiche e studio **iper-nucleo**
- Si ottiene iper-nucleo con reazione **scambio di stranezza** [$K \equiv (q,s)$]



$n \rightarrow \Lambda^0$ tramite: $K^- + n \rightarrow \Lambda^0 + \pi^-$. Bilancio energetico per n libero dipende da masse particelle

Se n legato e Λ^0 resta nel nucleo \Rightarrow diff. energia fra K^- e $\pi^- \sim$ diff. fra en. legame di n e Λ^0

$$B_n - B_{\Lambda^0} = E_{k,K^-} - E_{k,\pi^-} + (M_{K^-} - M_{\pi^-})c^2 + (M_n - M_{\Lambda^0})c^2 - (\text{en. rinvolo})$$



Spettro π^- per $K^- + {}^{12}\text{C} \rightarrow \pi^- + {}^{12}\Lambda\text{C}$, con $|p_{K^-}| = 720 \text{ MeV}/c$

En. trasferita $B_{\Lambda^0} \sim$ en. legame Λ^0 nel nucleo

Picco 1 en. legame Λ^0 . **Picco 2** en. trasferita da legame nucleare al π^- nella trasformazione di n in Λ^0

P. esclusione impedisce a p o n di occupare livelli già occupati inferiori a quelli in cui sono

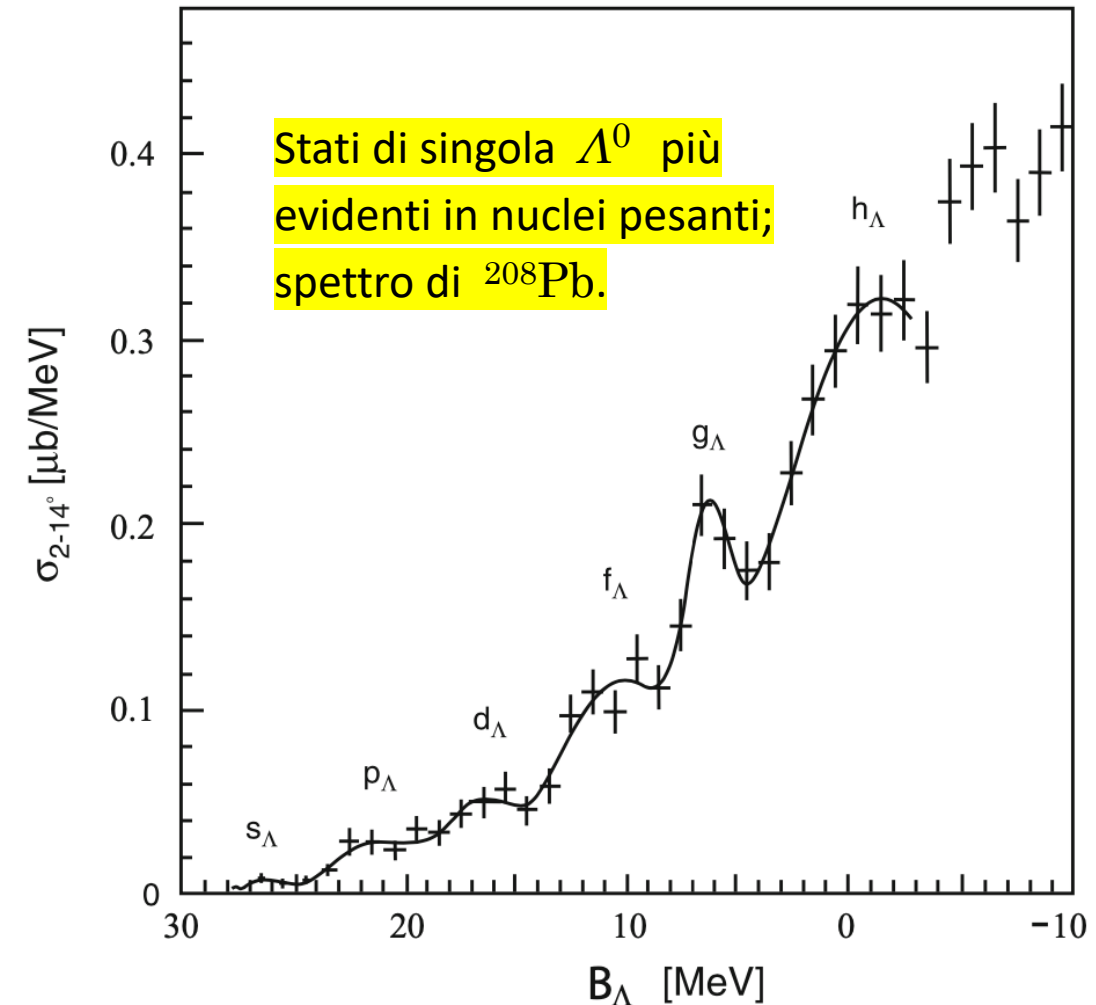
⇒ **stati si riempiono da basso verso l'alto come in atomo**

Se però Λ^0 sostituisce n , può occupare qualsiasi livello:
non risente dei singoli nucleoni ma solo del potenziale medio da essi creato

Si mettono così in evidenza livelli energetici; ^{208}Pb a fianco

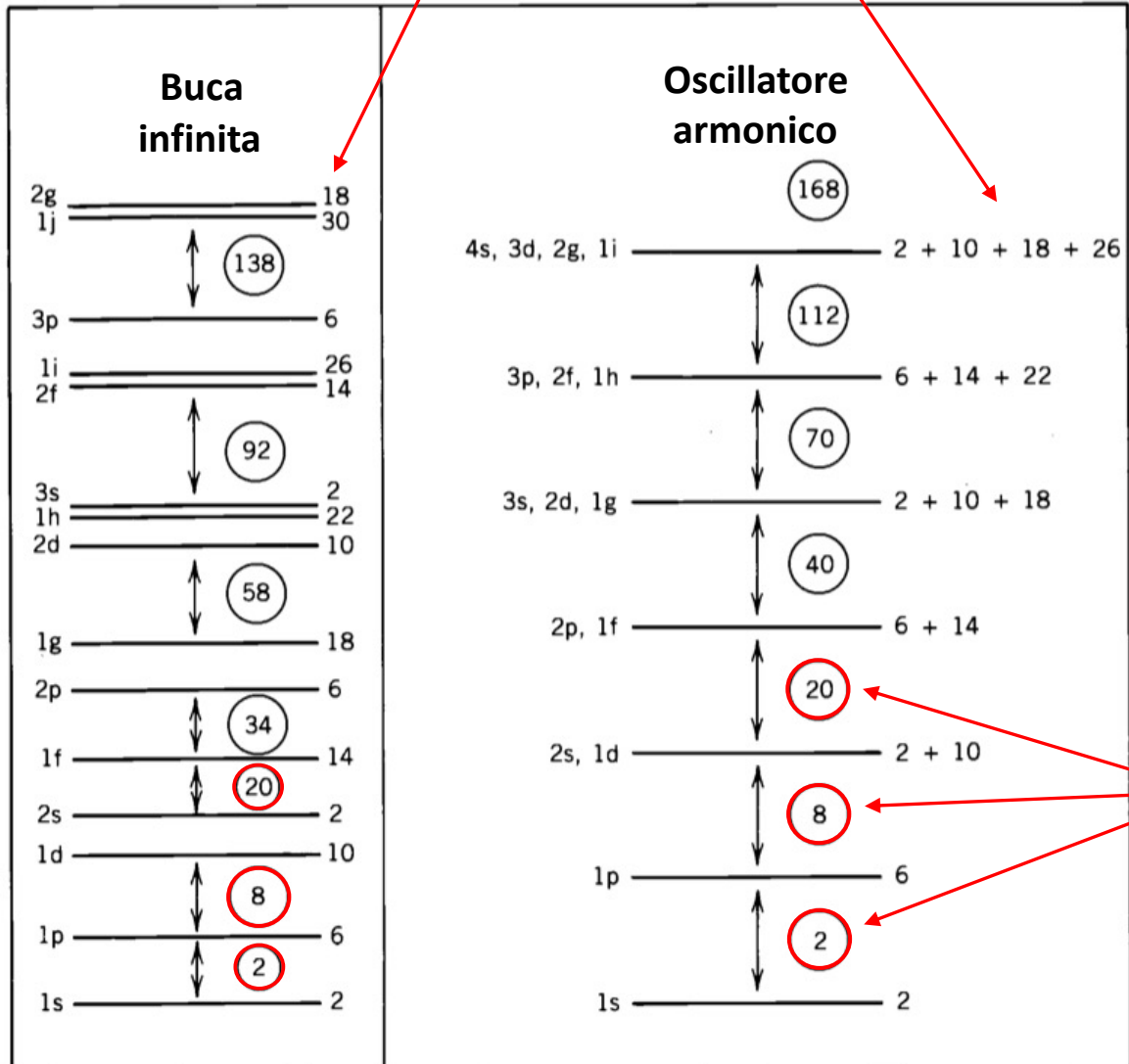
- Interaz. Λ^0 -nucleone più **debole** di nucleone-nucleone
⇒ **non esistono stati legati Λ^0 -nucleone**
(non c'è l'iperdeutone)

Λ si muove **\sim libera** nella buca, nonostante nel nucleo materia sia densamente distribuita: **è quindi ottima sonda esploratrice dei livelli**



Potenziale del modello a shell

Degenerazioni dei livelli



Scegliere potenziale adatto: soluzioni Schrödinger per **buca quadrata** (pareti ∞) e **osc. armonico** (pareti ∞)

- Degenerazione livello corrisponde a # nucleoni che può ospitare, $2(2l + 1)$ con $(2l + 1)$ degenerazione di m_l e 2 di m_s

Come atomi, **notazione spettroscopica** dei livelli, ma ora **n non** è num. quant. principale, **conta** solo livelli associati a un determinato valore di l

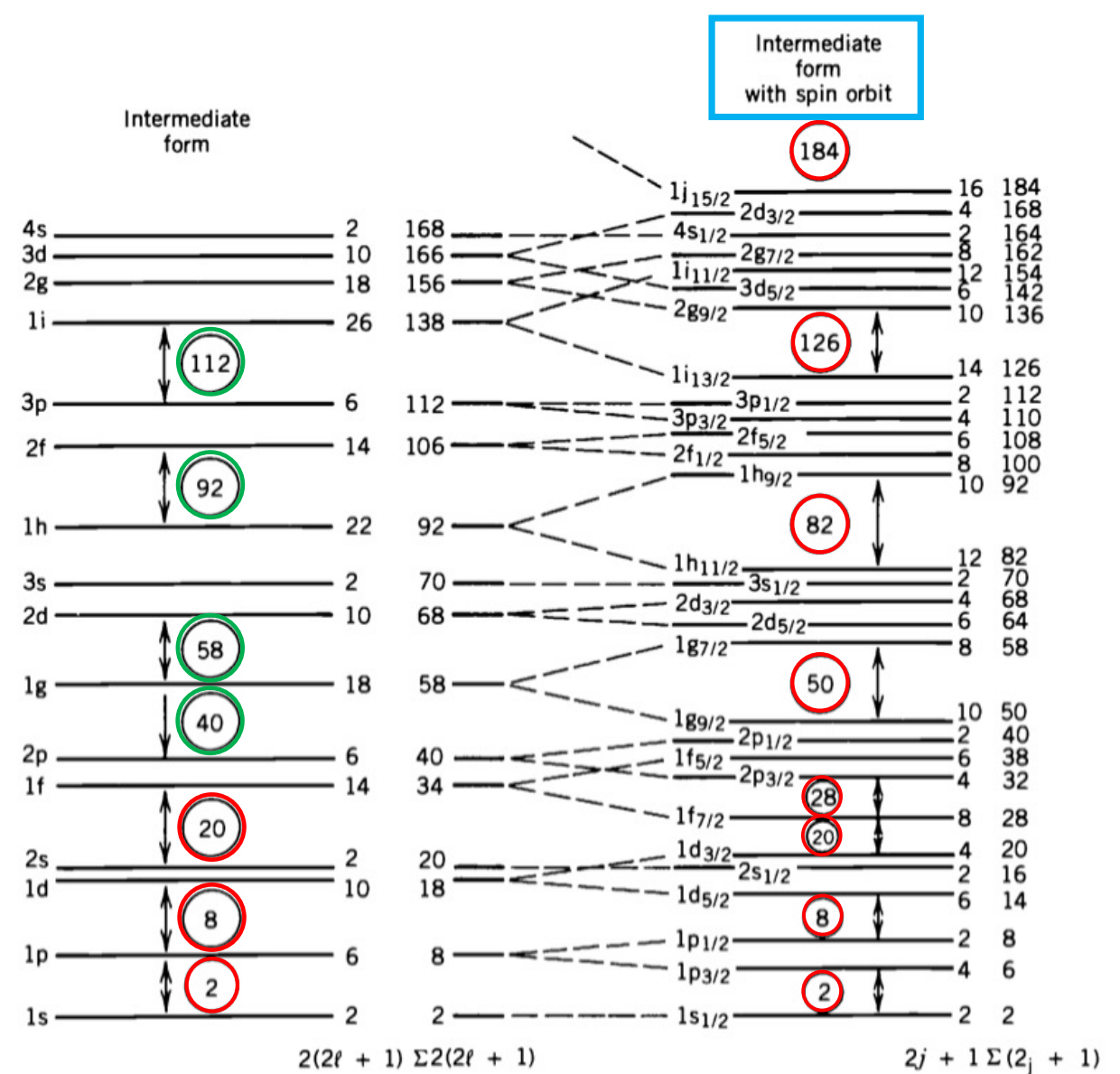
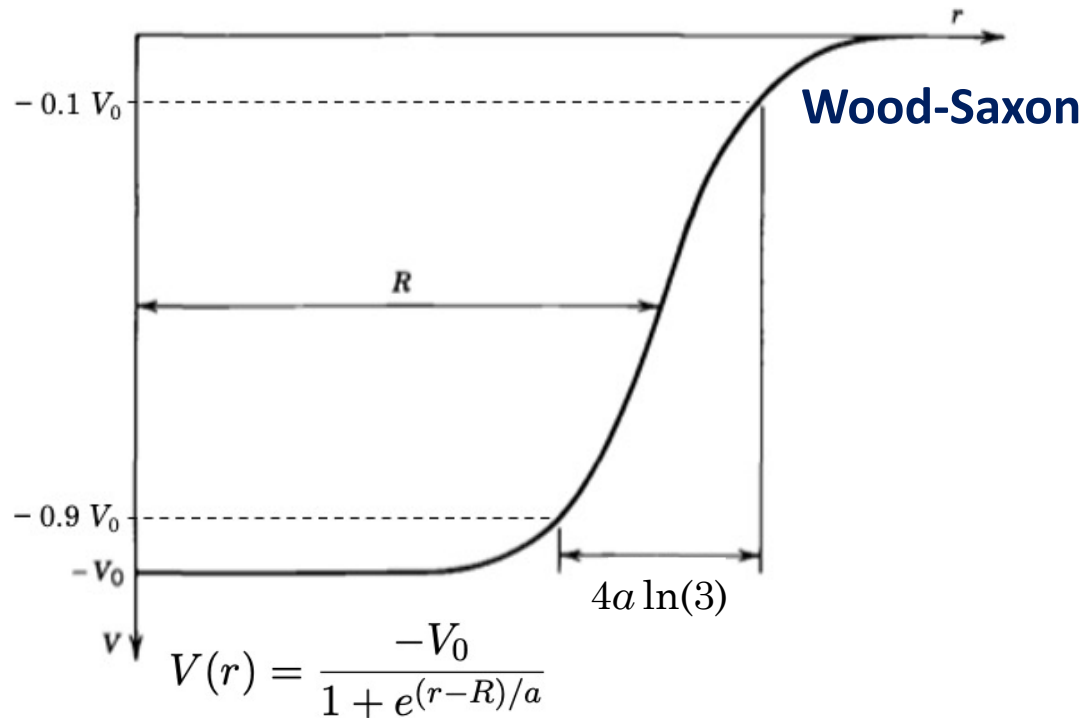
(# occupazione livelli e # cumulativi da riempimento completo)

Schema \Rightarrow solo numeri magici 2, 8, 20

Serve potenziale più realistico: **Wood-Saxon**

$$V(r) = \frac{-V_0}{1 + e^{(r-R)/a}}$$

- Né buca ∞ né osc. armonico spiegano come togliere nucleoni da un nucleo!
- Breve range interazione \Rightarrow ragionevole che potenziale \sim andamento densità nucleoni, senza bordi netti e \rightarrow zero dolcemente a distanza \sim raggio nucleare



Livelli calcolati con potenziale di Wood-Saxon
(con termine spin-orbita numeri magici !)

R e a , **raggio medio** e **spessore di pelle** \sim densità nucleoni: $R \simeq 1.25 \times A^{1/3}$ fm, $a = 0.524$ fm
 $V_0 \simeq 50$ MeV, **per avere corrette separazioni energetiche**

- Wood-Saxon rimuove degenerazione in l dell'oscillatore armonico per le shell principali
- Salendo in energia, **splitting** raggiunge entità spaziate fra livelli osc. armonico
- Riempendo ordinatamente shell con $2(2l+1)$ nucleoni \Rightarrow primi tre **numeri magici 2, 8 e 20**
- **Per corretta struttura sub-shell e restanti numeri magici, serve spin-orbita**

$$V_{so}(r) \ell \cdot \mathbf{s}$$

Il termine $l \cdot s$ riordina i livelli

Sviluppando $j^2 = (l + s)^2 \Rightarrow$
 per valori d'aspettazione

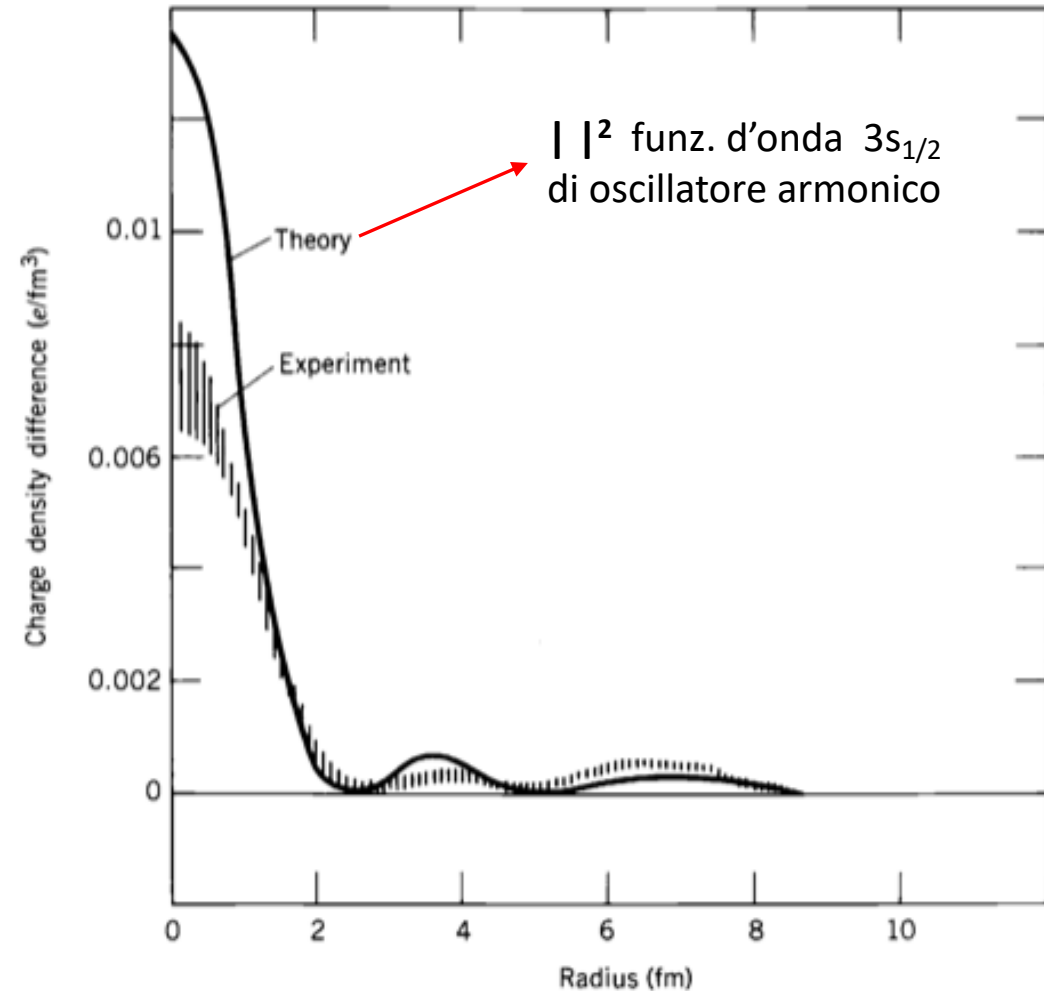
$$\frac{\langle \ell \cdot \mathbf{s} \rangle}{\hbar^2} = \frac{j(j+1) - l(l+1) - s(s+1)}{2} = \begin{cases} \frac{\ell}{2} & \text{per } j = l + \frac{1}{2} \\ -\frac{(\ell+1)}{2} & \text{per } j = l - \frac{1}{2} \end{cases}$$

\Rightarrow separazione energetica ΔE_{ls} cresce linearmente con l :

$$\Delta E_{ls} = \frac{2\ell + 1}{2} \langle V_{so}(r) \rangle$$

Accoppiamento ls in atomo genera **struttura fine**; nel nucleo è responsabile di **ampie separazioni** fra livelli, confrontabili con quelle fra shell n_l

Nucleoni di valenza



- Mod. Shell predice **livelli energetici**, **spin** e **parità** di quasi tutti stati fondamentali per **A dispari**; meno bene per **mom. dip. magnetico** e **quadrup. elettrico**
- **Forma estrema** \rightarrow modello **particella indipendente**: tutti nucleoni appaiati, tranne event. dispari residuo, solo responsabile proprietà osservate

Ipotesi che richiede studio interno dei nuclei pesanti e verifica completezza di shell

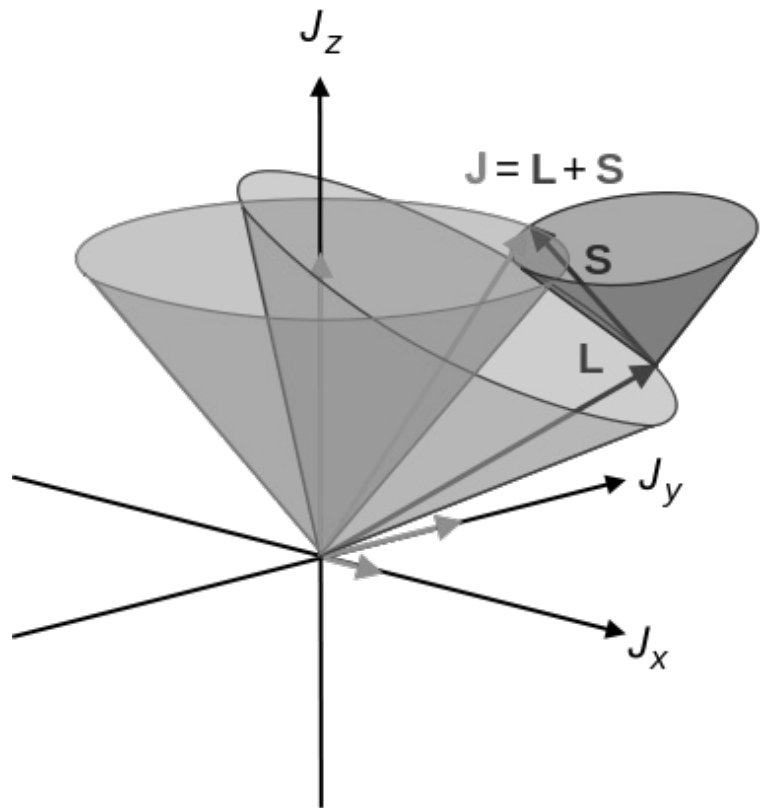
Sperim.: diff. e^- alta energia che sondano densità carica di singoli nucleoni sulle loro shell $\Rightarrow \sim$ studiare $|\psi|^2$

In fig. diff. fra distr. carica in $^{205}\text{Tl}_{124}$ e $^{206}\text{Pb}_{124}$

Previsione teorica è $|\psi|^2$ della funz. d'onda $3s_{1/2}$ dell'osc. armonico

Esperimento conferma che shell mantengono caratteristiche anche nelle parti più interne d'un nucleo \Rightarrow **modello a nucleone di valenza \sim realistico per molti nuclei**

Spin dei nuclei



- Mom. ang. tot. \mathcal{J} d'un nucleo (... **spin del nucleo**)

$$\mathbf{J} = \sum_{i=1}^A \mathbf{l}_i + \sum_{i=1}^A \mathbf{s}_i = \mathbf{L} + \mathbf{S}$$

\mathcal{J} ha **multipli interi** di \hbar per **A pari** e **multipli semi-interi** per **A dispari**
 \Rightarrow sistema più stabile se componenti dello stesso tipo s'accoppiano con spin $\uparrow\downarrow$

Ogni livello ha mom. ang. totale \mathcal{J} che si conserva per isotropia spazio
 \Rightarrow **operatore associato commuta con Hamilt. e suo valore sempre determinabile assieme a energia del livello**

l : conoscibili contemporaneamente $|\mathbf{l}|^2 = l(l+1)\hbar^2$ e max. valore proiezione l_z lungo z , $l_z = l\hbar$,
 con l intero ≥ 0 . l_z può assumere solo $(2l+1)$ valori, scalati di \hbar : $-\hbar l \leq l_z \leq +\hbar l$

p e **n** fermioni e loro spin può assumere i soli due stati $\uparrow\uparrow$ o $\uparrow\downarrow$ a z , con $s_z = \pm \hbar/2$

- Spin di stato eccitato nucleo può \neq multiplo intero di \hbar da stato fondamentale
- J si orienta solo su $(2J+1)$ diverse direzioni rispetto z , dove sua componente vale $m\hbar$; m num. quantico magnetico, intero o semi-intero $\in (-J, -J+1, \dots, +J-1, +J)$
- **Effetti osservabili di spin \sim legati a mom. magnetico del nucleo.** Energie associate a $(2J+1)$ possibili orientazioni \rightarrow **struttura iperfina** spettri atomici, **spettri rotazionali** molecole biatomiche di atomi uguali (spettroscopia delle microonde)
- Ogni nuclei con Z ed N pari ha $J = 0$, non così nuclei con A pari ma Z e N dispari
- Solo **quattro nuclei stabili dispari-dispari**: ${}^2\text{H}$, ${}^6\text{Li}$, ${}^{10}\text{B}$ e ${}^{14}\text{N}$. Altri **quattro** ${}^{40}\text{K}$, ${}^{50}\text{V}$, ${}^{138}\text{La}$ e ${}^{176}\text{Lu}$, **con vita media molto lunga**, ($\approx 10^6$ y); ${}^{176}\text{Lu}$ **utilizzato per datazione meteoriti ed ha maggior spin: $J = 7$**
- Gran parte nuclei ha spin piccoli, **fra $J = 1$ e $J = 7$ per dispari-dispari**, **semi-interi fra $J = 1/2$ e $J = 9/2$ per A dispari**
- Nucleoni si **posizionano** nel nucleo **riducendo spin totale** \Rightarrow strutture più legate, come e^- in orbitali atomici

Parità e nuclei

- Pot. centrale è funzione pari \Rightarrow funz. d'onda stati associati a parità definita $\mathbf{P = (-1)^\ell}$
Misurabili contemporaneamente **energia E** e **parità $P (+1, -1)$** di uno stato
- **Parità si conserva nel tempo se tutte le interazioni sono pari**
- Densità probabilità di uno stato puro, a parità definita, sempre pari
- **Quantità dispari**: vettore, impulso, momento di dipolo elettrico, ...
Quantità pari: pseudovett., en. cinetica, mom. angolare, mom. dip. magnetico, ... *e operatori associati*
Quindi se di stato a energia nota si misura mom. ang., se ne può **contemporaneamente** misurare anche parità (relativi operatori commutano) ma non l'impulso
- Stato nucleare caratterizzato da: energia, mom. angolare e parità **(E, J^P)**
- **Sperimentalmente \Rightarrow forze nucleari conservano parità \Rightarrow livello nucleare ha parità definita.**
Spin J può corrispondere a diversi valori di L , associati a parità **+** per L pari, e **-** per L dispari
 \Rightarrow mescolanze fra mom. ang. orbitali **o** con L pari, **o** con L dispari

Esempio

Deutone ${}^2\text{H}$: p - n legati; stato fondamentale $\simeq 2.225$ MeV; spin $J = 1$, due nucleoni in stato di **tripletto** $S = 1$
 \Rightarrow mom. ang. orb. $L = 0$ (onda S), come da misura **mom. dip. magnetico**, pari a $0.857 \mu_N$
 \sim equivalente somma di quelli di p e n

Ma sperimentalmente ${}^2\text{H}$ ha anche mom. quadrupolo elettrico $(e \cdot 2.82 \times 10^{-31} \text{ m}^2 \cdot e) \neq 0$

\Rightarrow stato fondamentale **non pura onda S**, che sarebbe sfericamente simmetrico quindi compatibile con mom. el. di quadrupolo nullo, ma **deve essere mescolanza con altri mom. ang. orbitali**.

Questi devono soddisfare

$$\mathbf{J} = \mathbf{L} + \mathbf{S} \quad , \quad \text{con } S = 1 \quad \text{e} \quad J = 1$$

che è possibile per $L = 0$, $L = 1$ (onda P), ed $L = 2$ (onda D)

Ma onda P ha parità opposta a S e D, la mescolanza può **quindi sussistere solo fra onda S e D**